

Projeto 4

Juliana Naomi Yamauti Costa, nºUSP 10260434

20 Maio 2020

As equações clássicas do movimento, providas das Leis de Newton, governam a dinâmica de sistemas muito grandes até aqueles muito pequenos (dentro de seus limites, quando flutuações quânticas podem ser relevadas).

Soluções analíticas exatas existem apenas em sistemas simples, e então foram estudadas técnicas de resolução de **equações diferenciais** para o estudo de sistemas dinâmicos clássicos, incluindo os caóticos.

Uma das formas de resolver equações diferenciais é através do algoritmo **Runge-Kutta** (RK), o qual pode ser utilizado para um considerável conjunto de equações diferenciais. RG de segunda ordem corresponde a regra do ponto médio utilizado em integração numérica

1 Subprojeto A

Aqui testaremos o método em uma dimensão. As primeiras linhas destacadas referem-se as condições iniciais aplicadas, e as restantes à aplicação da equação 5 (indicada nas instruções do projeto).

Como os subprojetos seguintes exigiriam a criação de vários arquivos, neste código eles já são gerados automaticamente e iniciam-se no número 10. Para indicar o que cada arquivo contém, foi incluído um *print* (linha 20) o qual indica as condições da simulação de cada um.

tarefaA-10260434.f90

```
Program Subprojeto_A
2
3  IMPLICIT REAL*8 (a-h,o-z) !dupla precisão
4  dimension at(1:3), v(1:2) !vetores das variáveis
5  character(len=70) fn
6
7  at = (/0.01,0.001,0.0001/) !avanço temporal
8  v = (/0.d0,10.d0/) !velocidade inicial
9  ac = -10.d0 !aceleração
10
11 ifilenum = 10
12
13 do i=1, 3
14     do j=1, 2
15         tv = 0 !tempo inicial
16         ty = 0
17         ypos = 100.d0 !posição inicial
18         vel = v(j) !velocidade inicial
19         ifilenum = ifilenum + 1 !numeração dos arquivos
20         write(fn,fmt='(i0,a)') ifilenum, '.dat'
```

```

22      print*, ifilenum, 'v=', v(j), 'at=', at(i)
      open(unit=ifilenum,file=fn)
      do while (ypos .ge. 0.d0)           !para quando corpo chega
      ↪ ao solo
24          write(ifilenum,*) ty, ypos, tv, vel
          ty = ty + at(i)
26          tv = ty - at(i)/2
          if (tv .eq. (at(i)/2.0)) then    !ajuste da
          ↪ primeira iteração
28              vel = v(j) + (at(i)/2.d0)*ac
          else
30              vel = vel + at(i)*ac
          end if
32          ypos = ypos + at(i)*vel
      end do
34      close(ifilenum)
      end do
36 end do
End Program Subprojeto_A

```

1.1 Resultados

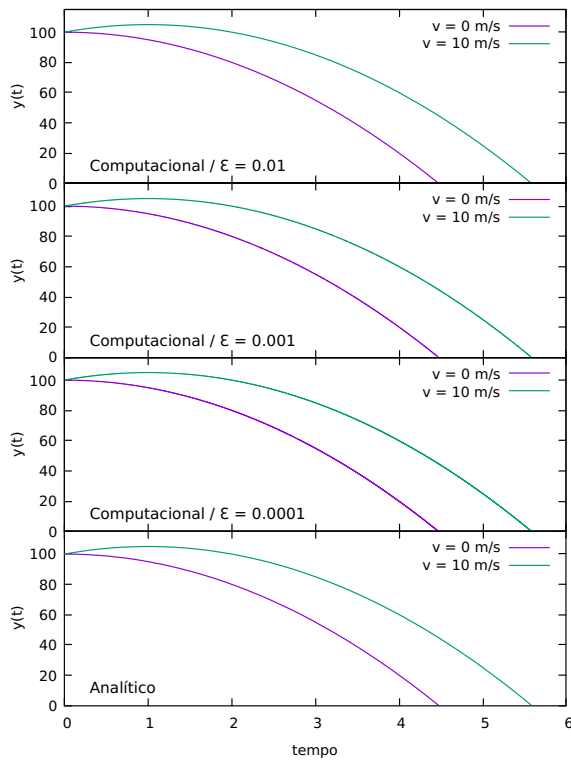
Os gráficos abaixo comparam as condições aplicadas e o comportamento das curvas, tanto da velocidade quanto da posição no eixo y.

Como se trata de um sistema simples, para obtermos a curva analítica basta utilizarmos as Leis de Newton correspondentes ao Movimento Uniformemente Acelerado (MUV).

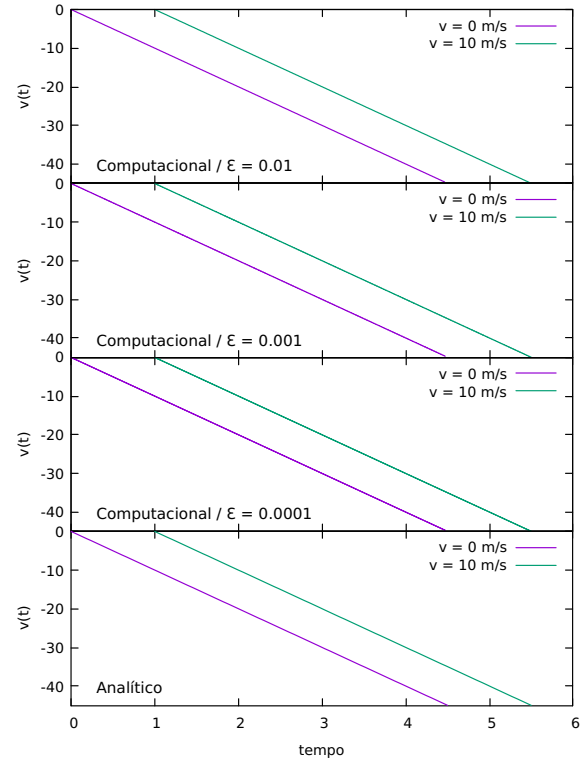
$$y = y_0 + v_0 \cdot t + \frac{a \cdot t^2}{2} \quad (1)$$

$$v = v_0 + a \cdot t \quad (2)$$

Portanto, deveríamos esperar uma curva parabólica (posição) e outra linear (velocidade).



(a) Comparação entre as curvas de ' $y(t)$ vs t ' obtidas numericamente com a curva analítica.



(b) Comparação entre as curvas de ' $v(t)$ vs t ' obtidas numericamente com a curva analítica.

Figura 1: Curvas da posição e velocidade com variação temporal.

Podemos verificar que ambas as curvas (posição e velocidade) correspondem à curva analítica, e que a mudança do incremento temporal não altera de forma significativa o comportamento das mesmas (afinal, a física é mesma).

No entanto, podemos comparar os valores do tempo obtidos em cada simulação com o resultado analítico e verificar como se comporta a precisão em cada caso:

v (m/s)	ε 0.01	ε 0.001	ε 0.0001	EXATO
0	4.46999990	4.47200021	4.47209988	4.47213595
10	5.57999987	5.58200026	5.58249985	5.58257569

Como esperado, a precisão aumenta conforme a discretização do tempo aumenta.

2 Subprojeto B

Agora incluímos a resistência do ar, portanto, a aceleração é variável. Visto isso, algumas alterações foram feitas no código a fim de computar a influência da aceleração nas variáveis de posição e velocidade.

tarefaB-10260434.f90

```
Program Subprojeto_B
2
3  IMPLICIT REAL*8 (a-h,o-z) !dupla precisão
4  dimension at(1:3), v(1:2), res(1:2)          !vetores das variáveis
5  character(len=70) fn
6
7  at = (/0.01,0.001,0.0001/)          !avanço temporal
8  v = (/0.d0,10.d0/)                  !velocidade inicial
9  res = (/0.1,0.01/)                  !resistência do ar
10
11 ifilenum = 10
12
13 do i=1, 3
14     do j=1, 2
15         do k = 1, 2
16             tv = 0                    !tempo inicial
17             ty = 0
18             ypos = 100.d0             !posição inicial
19             acel = -10.d0             !aceleração inicial
20             vel = v(j)                !velocidade inicial
21             ifilenum = ifilenum + 1    !numeração dos
22                                     ⇨ arquivos
23             print*, 'v=', v(j), 'res=', res(k), 'at=', at(i),
24                                     ⇨ ifilenum
25             write(fn,fmt='(i0,a)') ifilenum, '.dat'
26             open(unit=ifilenum,file=fn)
27             do while (ypos .ge. 0.d0)
28                 write(ifilenum,*) ty, ypos, tv, vel
29                 ty = ty + at(i)
30                 tv = ty - at(i)/2.d0
31                 ac = acel - res(k)*vel    !aceleração
32                                     ⇨ variável devido a resistência do ar
33                 if (tv .eq. (at(i)/2.d0))
34                     ⇨ then            !ajuste da primeira
35                     ⇨ iteração
36                     vel = v(j) + (at(i)/2.d0)*ac
37
38                 else
39                     vel = vel + at(i)*ac
40
41                 end if
42                 ypos = ypos + at(i)*vel
43             end do
44             close(ifilenum)
45         end do
46     end do
47 end do
```

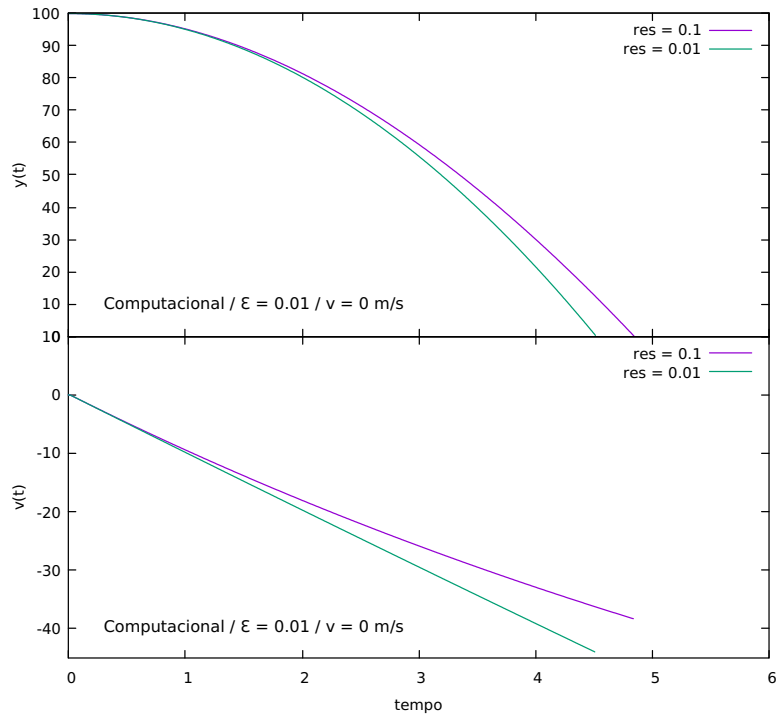
```
end do  
End Program Subprojeto_B
```

2.1 Resultados

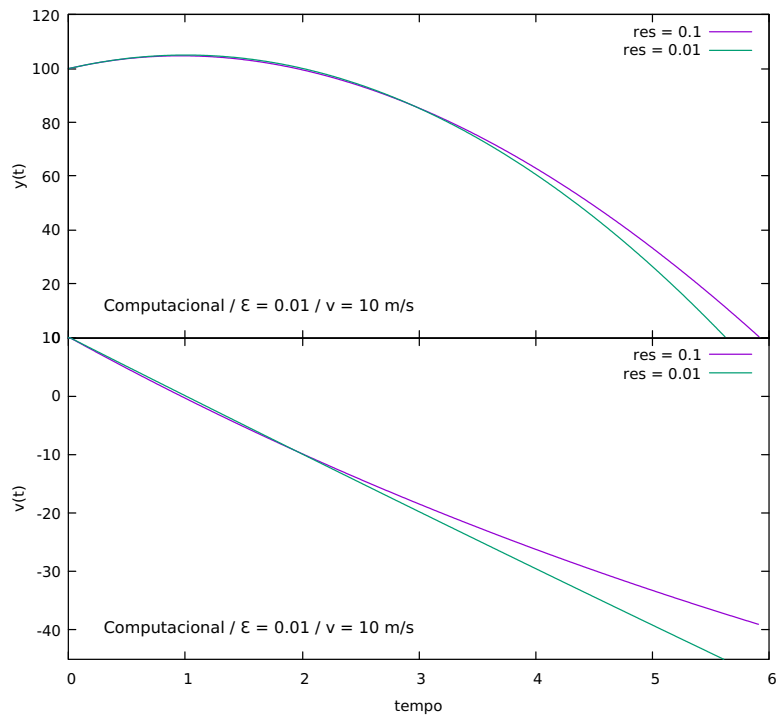
Ainda que a resistência do ar possa ser negligenciada quando muito pequena, ela produz efeitos significativos no movimento dos corpos.

Assim como no caso anterior, a aceleração gera a variação da velocidade, no entanto, neste caso a aceleração é variável, produzindo uma alteração não linear da velocidade. Também notamos que o tempo de queda aumenta significativamente, uma vez que a resistência do ar atua no corpo como uma força resistiva.

Podemos enxergar essas observações nos gráficos a seguir:



(a) Curvas da posição e velocidade com variação no tempo.



(b) Curvas da posição e velocidade com variação no tempo.

Figura 2: Resultados das simulações de posição e velocidade com inclusão da resistência do ar no movimento 1D.

Podemos verificar que quanto maior a resistência do ar, mais visível é seu efeito, em que a velocidade apresenta um comportamento menos linear (curva em lilás).

Agora analisando a velocidade dos corpos, a expressão analítica para a velocidade estacionária é dada por:

$$v_{limite} = -\frac{g}{\gamma} \quad (3)$$

Para os casos fornecidos, com $\gamma = 0.1$, $v_{limite} = -100$ m/s e, com $\gamma = 0.01$, $v_{limite} = -1000$ m/s. Para os casos solicitados, vimos que os corpos não atingiram a velocidade limite.

Para atingi-la, podemos alterar a altura de lançamento, implicando em maior tempo de queda e aumento da velocidade/aceleração. A seguinte simulação foi feita para $h_0 = 2000$ m.

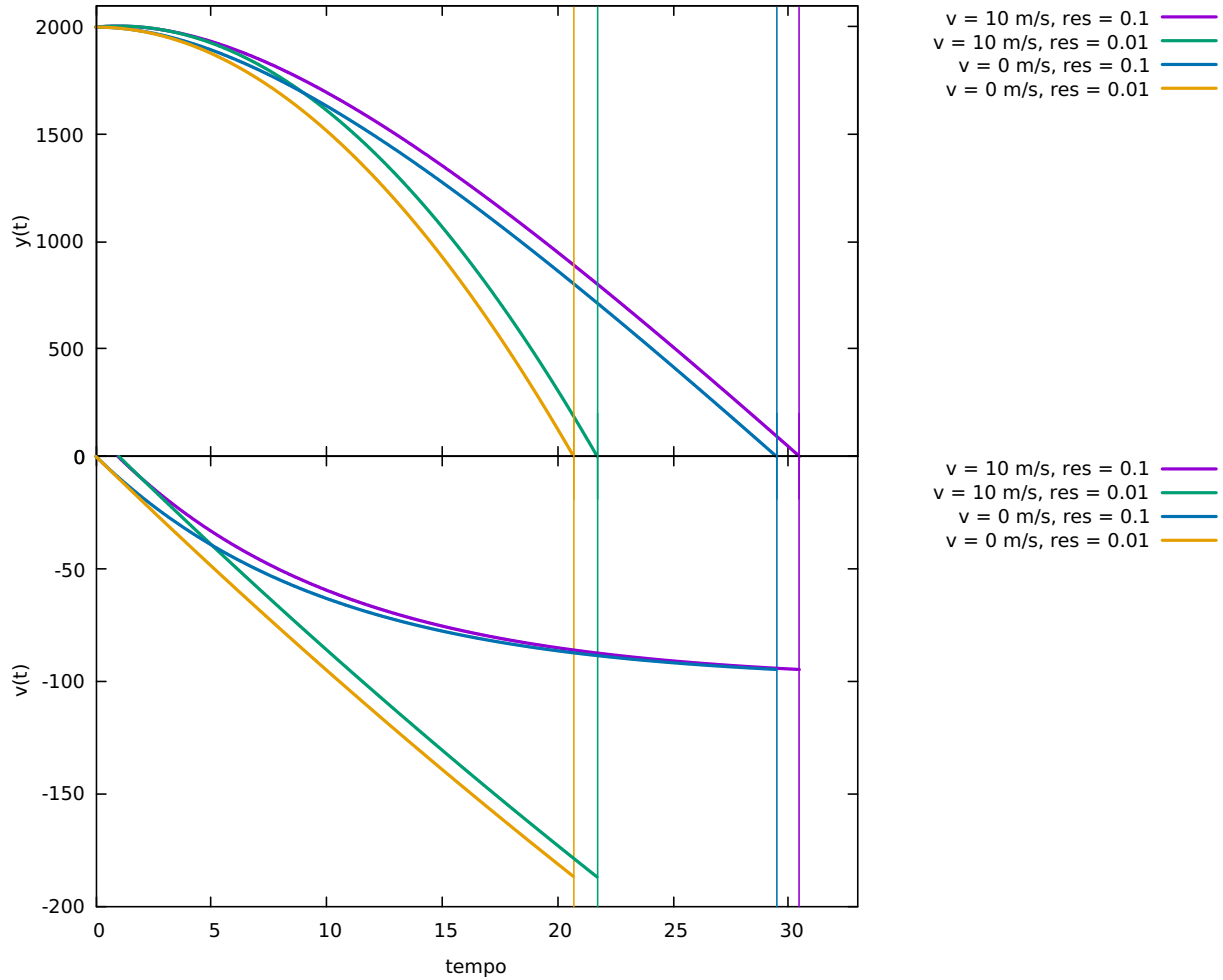


Figura 3: Verificação da velocidade estacionária.

Para os casos em que $res = 0.01$, obtivemos que a velocidade chega próxima ao seu limiar, com valor $vel = -94.780213402759060$ m/s. A curva da velocidade já apresenta estar se aproximando a um plato, assim como a posição parece se tornar linear - uma vez que a aceleração se aproxima a zero e o movimento se torna uniforme.

3 Subprojeto C

Com a inclusão de um ângulo de lançamento do chiclete, o problema agora ocupa duas dimensões. Assim, foram incluídos o armazenamento da variável 'x' e as componentes da velocidade. O avanço temporal foi fixado e foram analisadas as velocidades iniciais de 10 m/s e 20 m/s em cada ângulo.

— tarefaC-10260434.f90 —

```
Program Subprojeto_C
2
3 IMPLICIT REAL*8 (a-h,o-z) !dupla precisão
4 dimension vel(1:2), alfa(1:3) !vetores das variáveis
5 character(len=70) fn
6
7 pi = 4.d0*datan(1.d0)
8 vel = (/10.0,20.0/) !velocidade inicial
9 alfa = (/pi/4.d0,0.d0,-pi/4.d0/) !ângulo inicial
10
11 at = 0.001 !avanço temporal
12 y0 = 100.d0 !y inicial
13 x0 = 0.d0 !x inicial
14 ac = -10.d0 !aceleração inicial
15 ↵
16 ifilenum = 10 !numeração de arquivos
17
18 do i=1, 2
19     do j=1, 3
20         tv = 0 !tempo inicial
21         tp = 0
22         ypos = y0 !posição inicial
23         xpos = x0
24         velx = vel(i)*dcos(alfa(j)) !componente x da
25             ↵ velocidade
26         vely = vel(i)*dsin(alfa(j)) !componente y da
27             ↵ velocidade
28         ifilenum = ifilenum + 1
29         print*, 'v=', vel(i), 'alfa=', alfa(j), ifilenum
30         write(fn,fmt='(i0,a)') ifilenum, '.dat'
31         open(unit=ifilenum,file=fn)
32         do while (ypos .ge. 0.d0)
33             write(ifilenum,*) tp, ypos, xpos, tv
34             tp = tp + at !tempo
35             ↵ posição
36             tv = tp - at/2.d0 !tempo
37             ↵ velocidade
38             if (tv .eq. (at/2.d0)) then !ajuste da
39                 ↵ primeira iteração
40                 vely = vely + (at/2.d0)*ac
41             else
42                 vely = vely + at*ac
43             end if
44             ypos = ypos + at*vely
45         end do
46     end do
47 end
```



```

40         xpos = xpos + at*velx           !eixo x velocidade
        ↪ constante
42     end do
    close(ifilenum)
44 end do
End Program Subprojeto_C

```

3.1 Resultados

As curvas deveriam se manter parabólicas como nos subprojetos anteriores, mudando apenas alguns parâmetros como resultado do ângulo de lançamento, o qual altera o valor das velocidades iniciais em cada componente.

$$y = y_0 + v_0 \cdot \text{sen}(\alpha) \cdot t + \frac{a \cdot t^2}{2} \quad (4)$$

$$x(t) = x_0 + v_x \cdot t \quad (5)$$

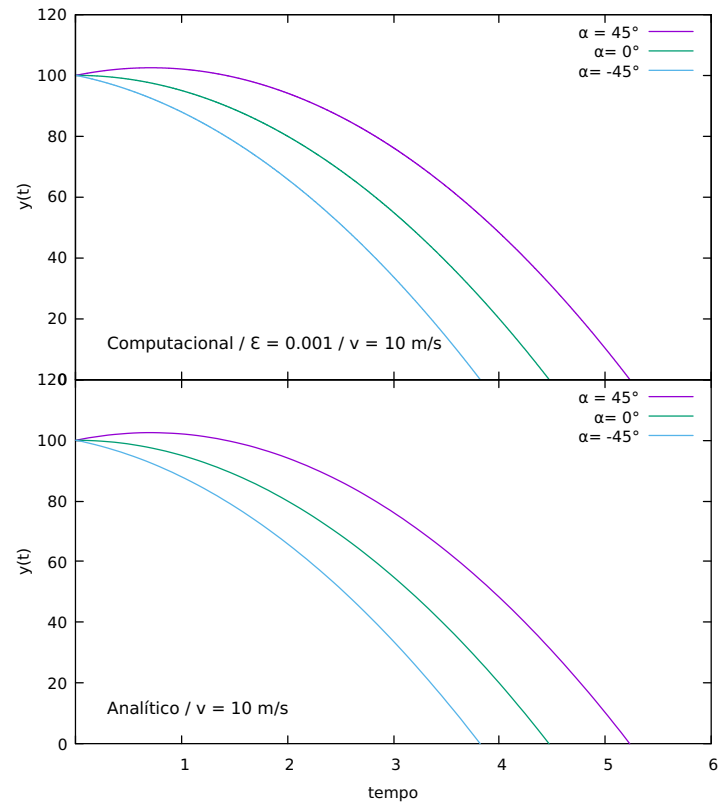
$$v_x = v_0 \cdot \cos(\alpha) \quad (6)$$

$$v_y(t) = v_0 \cdot \text{sen}(\alpha) + a \cdot t \quad (7)$$

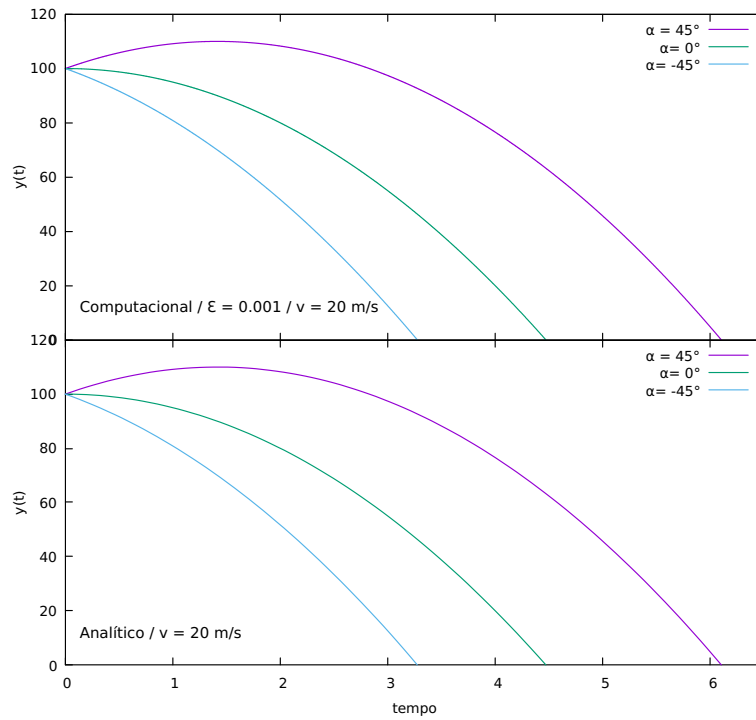
$$y(x) = y_0 + x \cdot \text{tg}(\alpha) + \frac{a}{2} \left(\frac{x}{v_0 \cdot \cos(\alpha)} \right)^2 \quad (8)$$

As equações 4, 5 e 8 foram utilizadas para plotar as funções analíticas de cada simulação e compará-las aos resultados obtidos. Cada variável pode ser plotada individualmente pois o movimento horizontal e vertical são independentes entre si.

Todos corresponderam às funções analíticas.

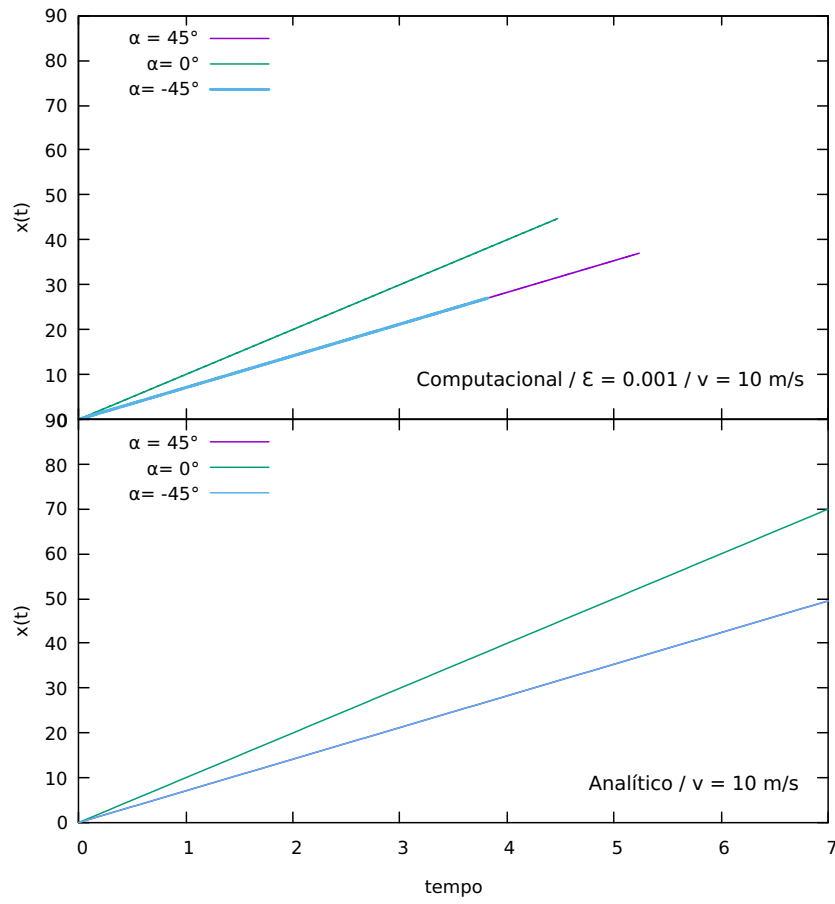


(a) Comparação entre as curvas de ' $y(t)$ vs t ' obtidas numericamente com a curva analítica $v = 10$ m/s.

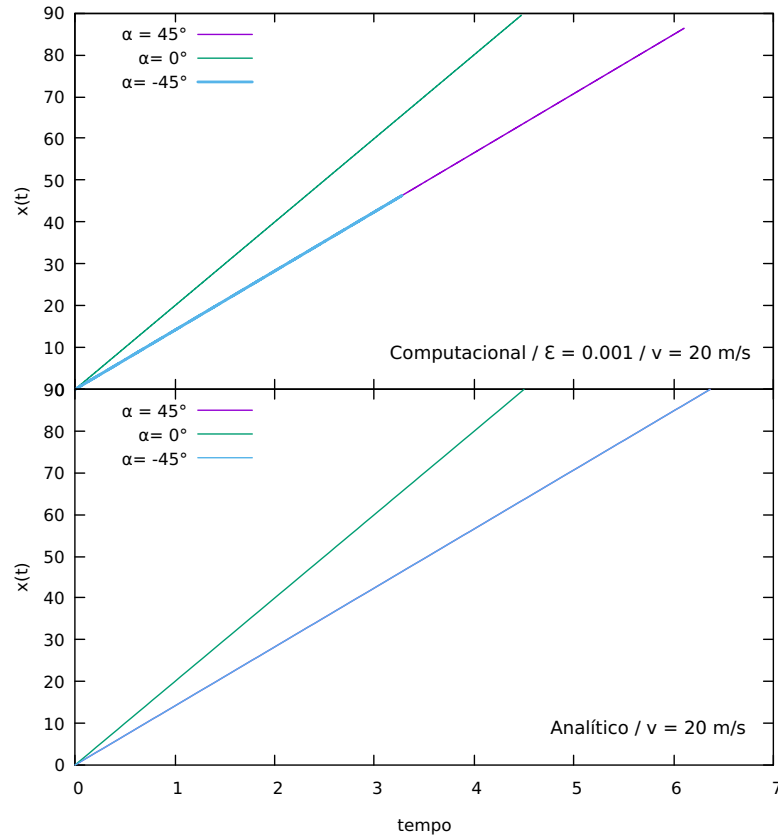


(b) Comparação entre as curvas de ' $y(t)$ vs t ' obtidas numericamente com a curva analítica para $v = 20$ m/s.

Figura 4: Curvas da posição vertical do corpo com variação temporal.

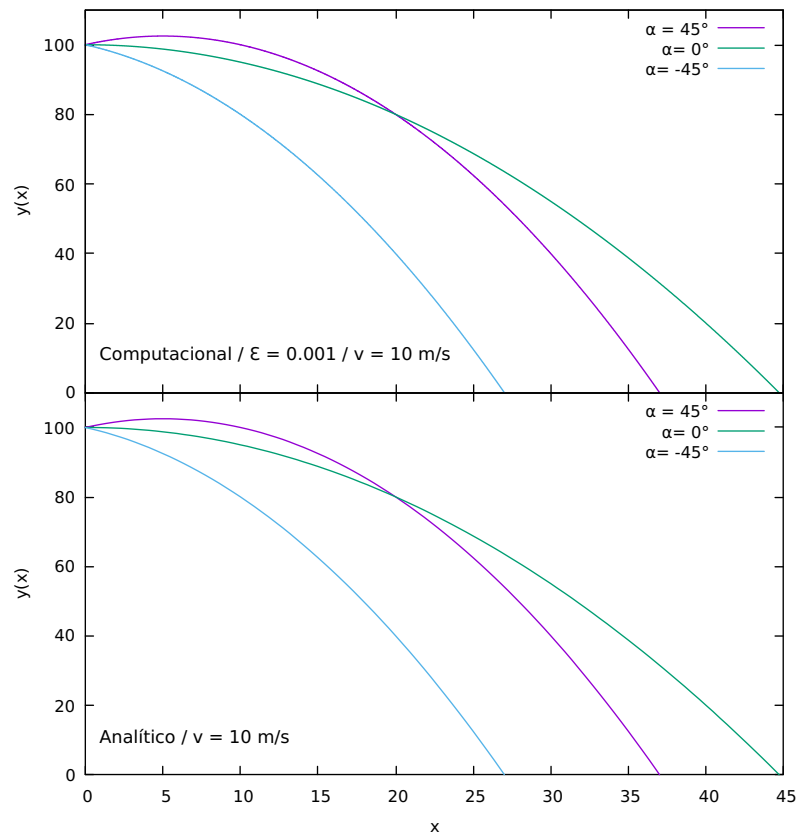


(a) Comparação entre as curvas de ' $y(t)$ vs t ' obtidas numericamente com a curva analítica $v = 10$ m/s.

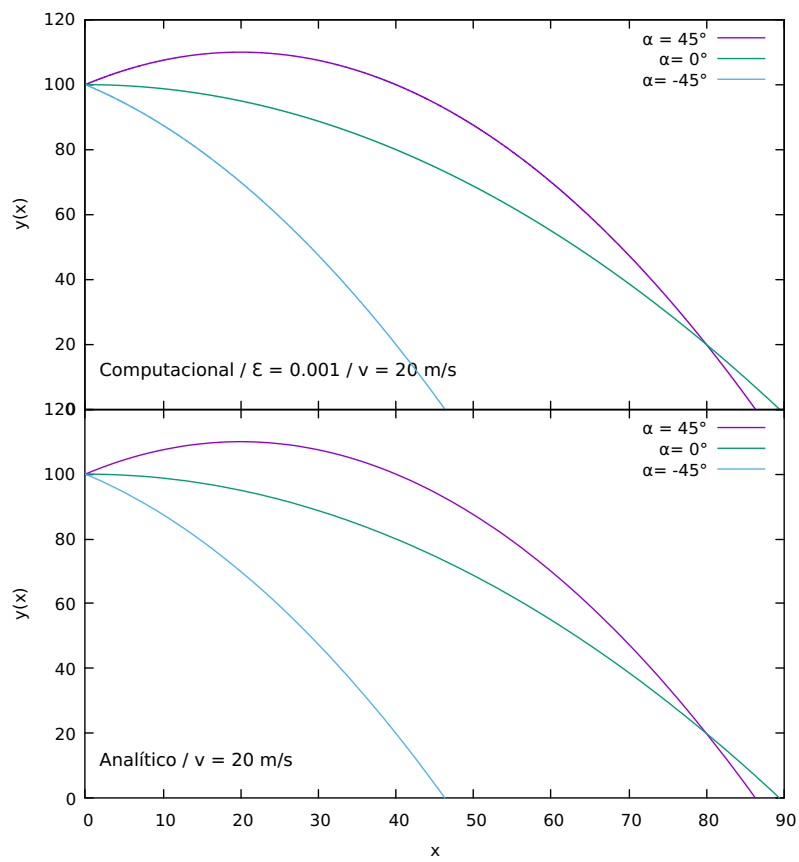


(b) Comparação entre as curvas de ' $x(t)$ vs t ' obtidas numericamente com a curva analítica para $v = 20$ m/s.

Figura 5: Curvas da posição horizontal do corpo com variação temporal.



(a) Curvas da posição do corpo no espaço para $v = 10$ m/s.



(b) Curvas da posição do corpo no espaço para $v = 20$ m/s.

Figura 6: Gráficos da posição do projétil.

4 Subprojeto D

Aqui temos o mesmo caso anterior com a adição da resistência do ar.

tarefaD-10260434.f90

```
Program Subprojeto_D
2
3 IMPLICIT REAL*8 (a-h,o-z) !dupla precisão
4 dimension vel(1:2), alfa(1:3) !vetores das variáveis
5 character(len=70) fn
6
7 pi = 4.0*datan(1.d0)
8 vel = (/10.0,20.0/) !velocidade inicial
9 alfa = (/pi/4.d0,0.d0,-pi/4.d0/) !angulo inicial
10
11 at = 0.001 !avanço temporal
12 y0 = 100.0 !y inicial
13 x0 = 0 !x inicial
14 acely = -10.0 !aceleração inicial
15 res = 0.1 !resistência do ar
16 ifilenum = 10 !numeração de arquivos
17
18 do i=1, 2
19     do j=1, 3
20         tv = 0 !tempo inicial
21         tp = 0
22         ypos = y0 !posição inicial
23         xpos = x0
24         velx = vel(i)*cos(alfa(j)) !componente x da
           ↳ velocidade
25         vely = vel(i)*sin(alfa(j)) !componente y da
           ↳ velocidade
26         ifilenum = ifilenum + 1
27         print*, ifilenum, 'v=', vel(i), 'alfa=', alfa(j)
28         write(fn,fmt='(i0,a)') ifilenum, '.dat'
29         open(unit=ifilenum,file=fn)
30         do while (ypos .ge. 0)
31             write(ifilenum,*) tp, ypos, xpos, tv
32             tp = tp + at !tempo posição
33             tv = tp - at/2.0 !tempo velocidade
34             acx = -res*velx !aceleração
           ↳ variável devido a resistência do ar
35             acy = acely - res*vely
36             if (tv .eq. (at/2.0)) then !ajuste da
           ↳ primeira iteração
37                 vely = vely + (at/2.0)*acy
38                 velx = velx + (at/2.0)*acx
39             else
40                 vely = vely + at*acy
41                 velx = velx + at*acx
42             end if
43             ypos = ypos + at*vely !eixo y
```

```

44         xpos = xpos + at*velx           !eixo x
        end do
46         close(ifilenum)
    end do
48 end do
End Program Subprojeto_D

```

4.1 Resultados

Como nos casos anteriores em que há resistência do ar, a aceleração gera efeitos sobre as componentes da velocidade (tanto horizontal quanto vertical), portanto, ambas possuem comportamentos não lineares. Para melhor comparação entre cada caso, foram mantidas as mesmas escalas no gráficos correspondentes entre si.

Sendo o caso 2D, horizontalmente o movimento é mais lento, assim como no eixo y. Desta forma, vemos que o tempo de queda é maior quando comparado ao movimento sem resistência do ar.

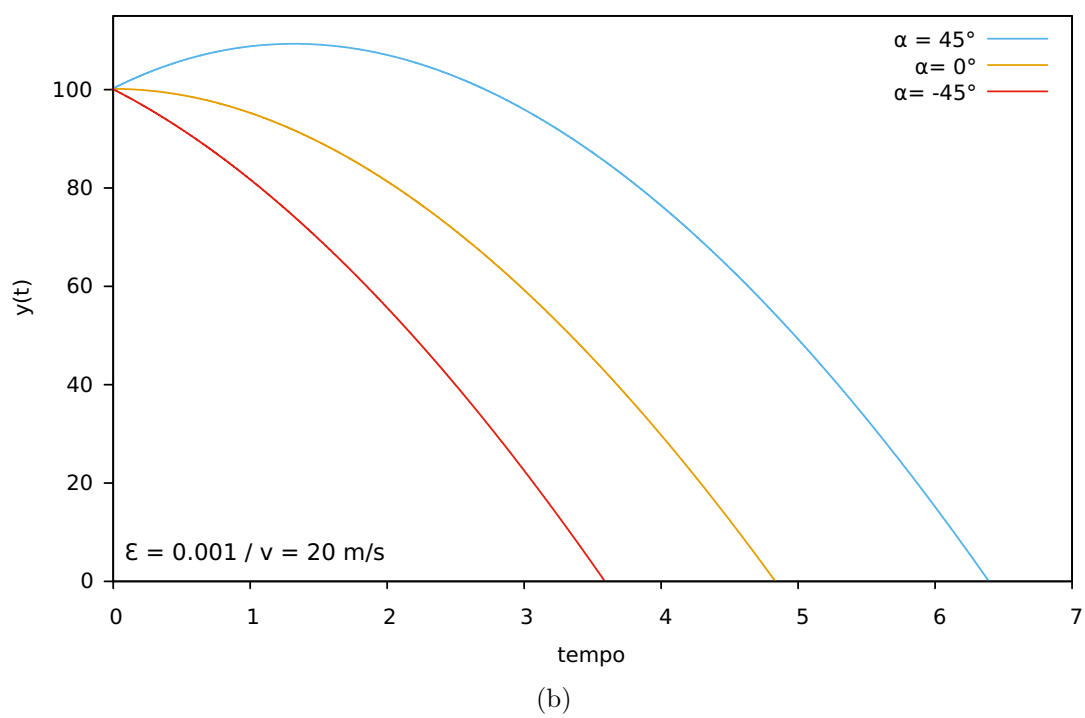
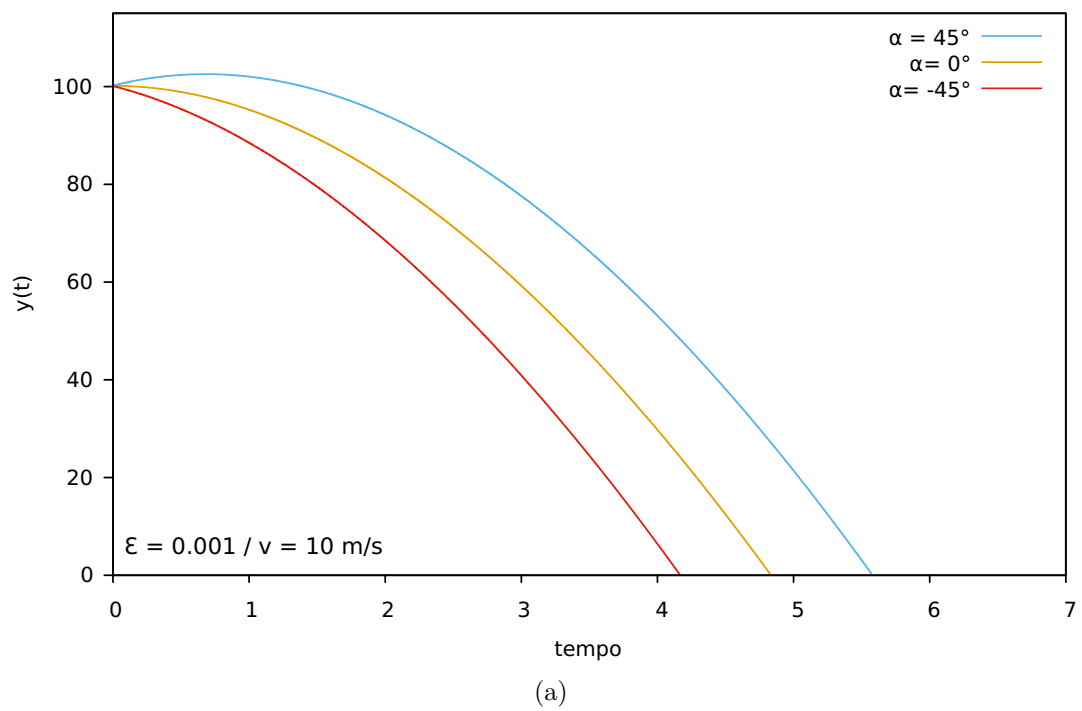


Figura 7: y vs t

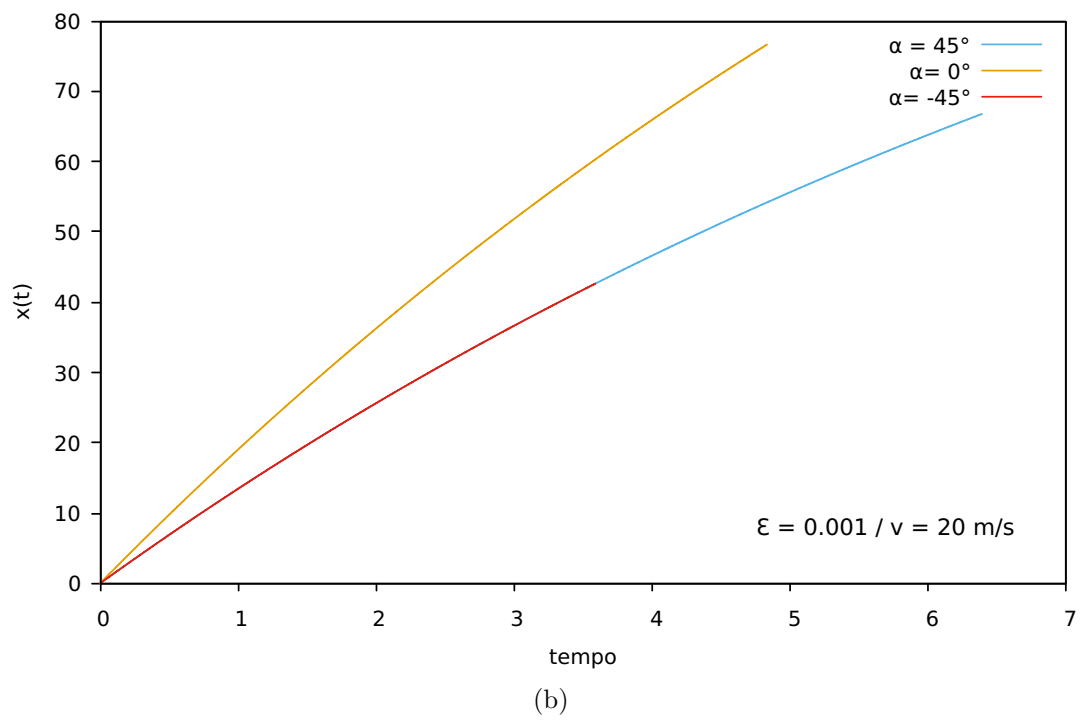
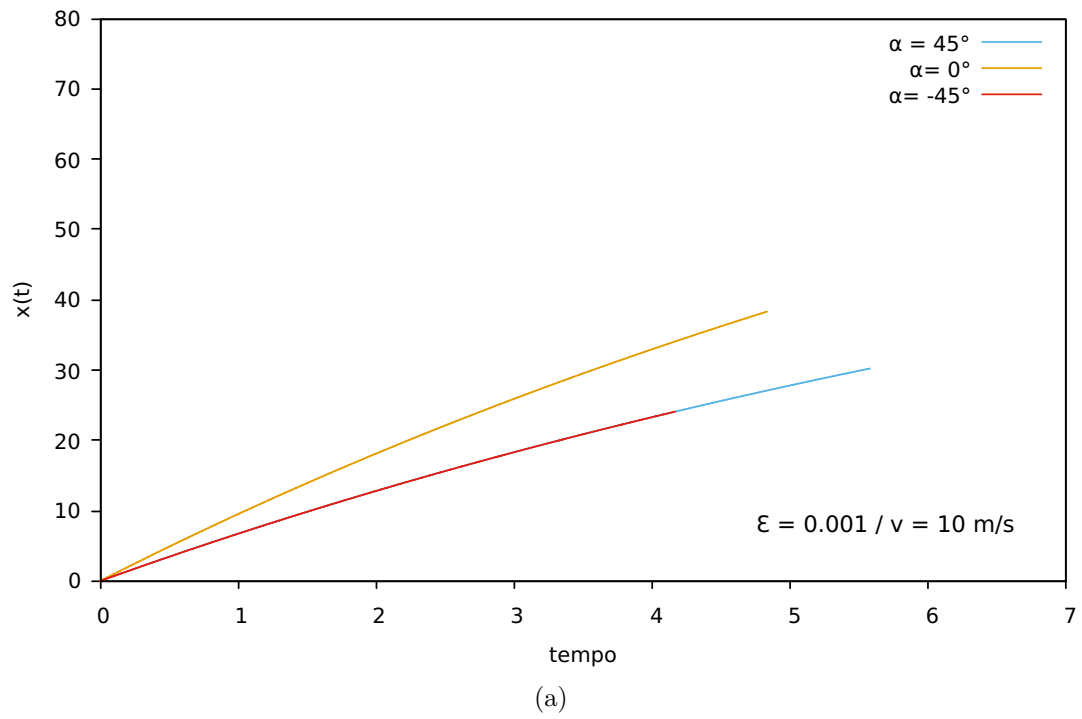


Figura 8: $x(t)$ vs t

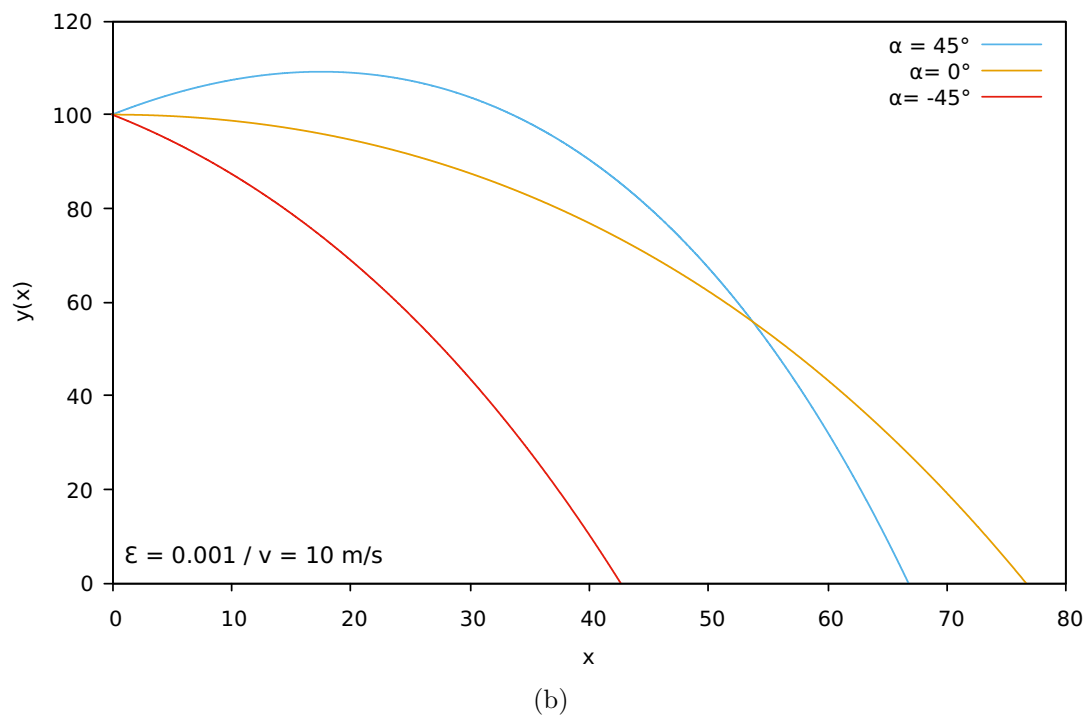
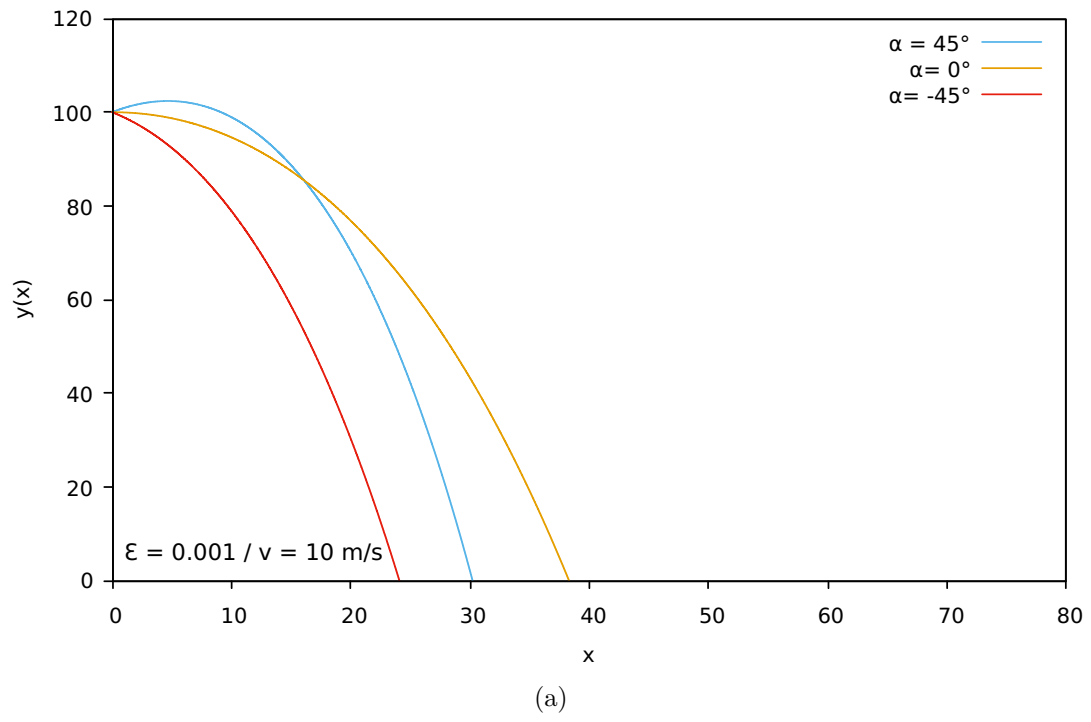


Figura 9: $y(x)$ vs x

5 Subprojeto E

Aproximando o problema um pouco mais a realidade, quando o corpo chega próximo ao chão ele perde uma fração de energia e continua o movimento. Para representar isso computacionalmente, quando o corpo chega muito próximo à superfície sua velocidade vertical é invertida e o algoritmo continua a ser aplicado, enquanto a velocidade horizontal mantém seu sentido e a mesma fração de energia é retirada.

Foram testados dois valores, $dx = 0.3$ e $dx = 0.5$. Como parada, foi estabelecida uma altura máxima de proximidade do solo.

____ tarefaE-10260434.f90 _____

```
Program Subprojeto_E
2
dimension vel(1:2), alfa(1:3), dxy(1:2)
4 character(len=70) fn

6 pi = 4.0*atan(1.0)
  vel = (/10.0,20.0/)      !velocidade inicial
8  alfa = (/pi/4.0,0.0,-pi/4.0/)
  dxy = (/0.3,0.5/)

10
  at = 0.001              !avanço temporal
12  y0 = 100.0             !y inicial
  x0 = 0                  !x inicial
14  ac = -10.0             !aceleração          inicial
  ifilenum = 10           !numeração de arquivos
16  dif = 0.001
  hmax = 1

18
do i=1, 2
20   do k=1, 2
      do j=1, 3
22         tv = 0           !tempo inicial
         tp = 0
24         ypos = y0        !posição inicial
         xpos = x0
26         velx = vel(i)*cos(alfa(j))
         vely_new = vel(i)*sin(alfa(j))
28         ifilenum = ifilenum + 1
         print*, ifilenum, 'v=', vel(i), 'alfa=', alfa(j),
           ↪ 'dxy=', dxy(k)
30         write(fn,fmt='(i0,a)') ifilenum, '.dat'
         open(unit=ifilenum,file=fn)
32         do while (ypos .ge. 0)
             write(ifilenum,*) tp, ypos, xpos, tv,
               ↪ vely_old, velx
34             tp = tp + at
               ↪ !tempo
               ↪ posição
             tv = tv +
               ↪ at/2.0           !tempo
               ↪ velocidade
```

```

36         if (tv .eq. (at/2.0)) then
37             vely_old = vely_new + (at/2.0)*ac
38         else
39             vely_old = vely_new + at*ac
40         end if
41         ypos = ypos + at*vely_old
42         xpos = xpos + at*velx      !eixo x
43         ↪ velocidade constante
44
45         if (ypos .lt. 0) then
46             ypos = 0
47         end if
48
49         if (((vely_new*vely_old) .lt. 0) .and.
50 ↪ (ypos .le. hmax)) then
51             exit !a altura é máxima quando
52 ↪ velocidade muda de sinal
53         end if
54
55         if (ypos .lt. dif) then
56             vely_old = -vely_old +
57 ↪ dxy(k)*vely_old
58
59             velx = velx - velx*dxy(k)
60             ypos = ypos + at*vely_old
61             xpos = xpos + at*velx
62         end if
63
64         vely_new = vely_old
65     end do
66     close(ifilenum)
67 end do
68 End Program Subprojeto_E

```

5.1 Resultados

Analisando os gráficos da velocidade percebemos que há uma quebra de continuidade, correspondentes ao momento em que o corpo atinge o chão e perde uma fração de energia, evidente tanto em x quanto em y. A queda em x é linear pois o movimento horizontal é uniforme, já que não há resistência do ar.

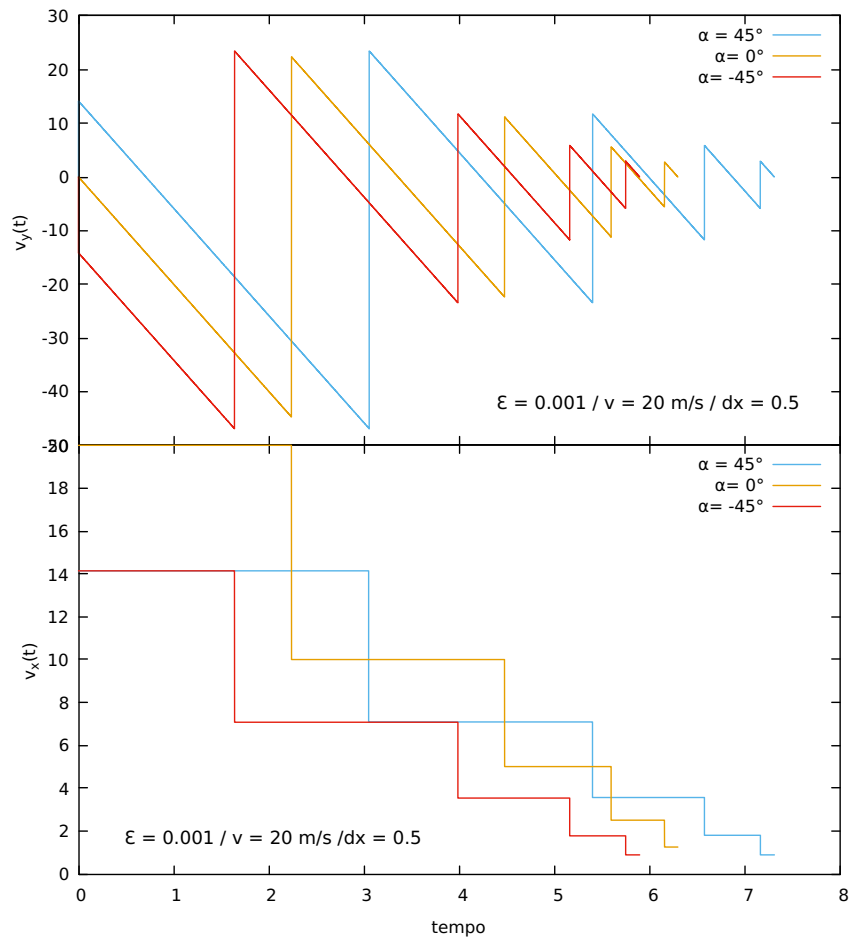
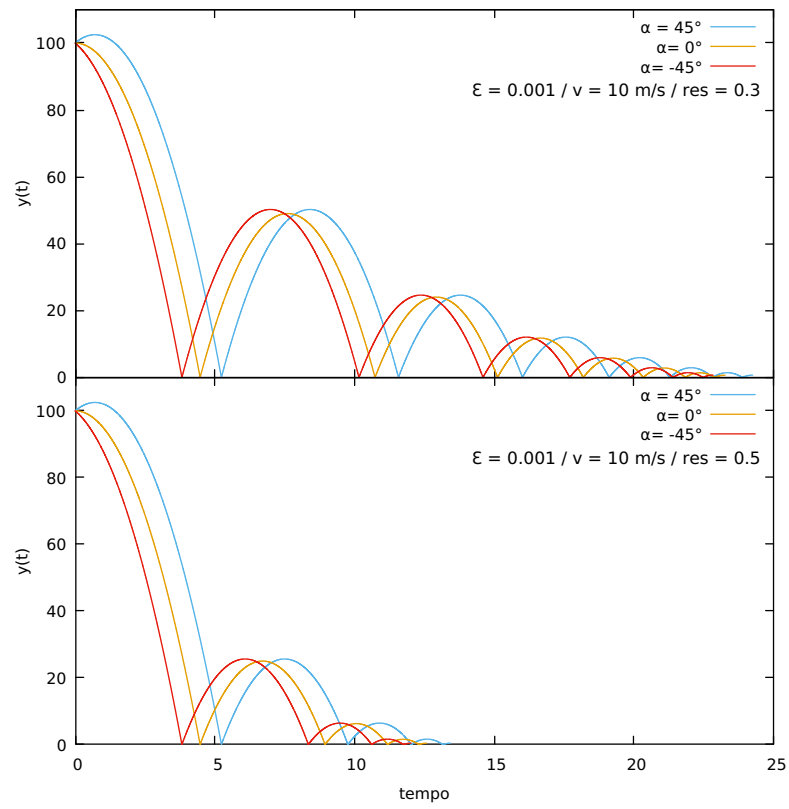


Figura 10: Comportamento das componentes da velocidade.

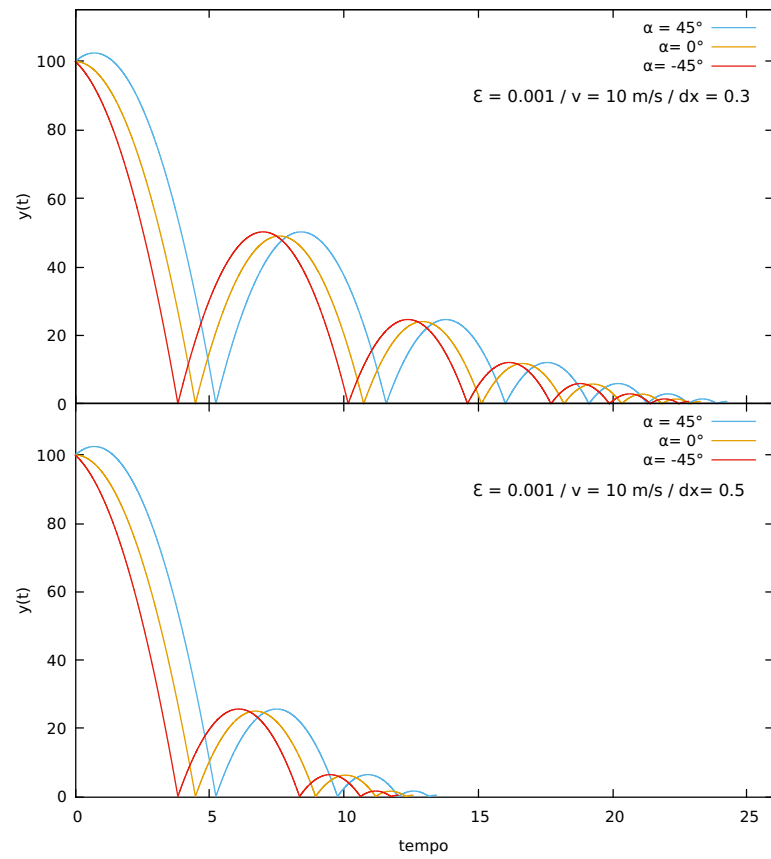
Também vemos que quanto maior a perda de energia, menor é o tempo de movimento, uma vez que mais velocidade é perdida a cada choque com o solo.

Quanto ao gráfico $x(t)$ vs t , apesar do movimento ser linear horizontalmente, há o 'arredondamento' da curva devido a perda de velocidade, onde na realidade temos a junção de várias curvas lineares, diminuindo a inclinação de cada reta individual após cada choque.

Observando apenas as posições (gráfico $y(x)$ vs x), vemos que o objeto se choca com o solo o mesmo número de vezes, apenas mudando o quão longe o corpo consegue ir devido as velocidades iniciais.

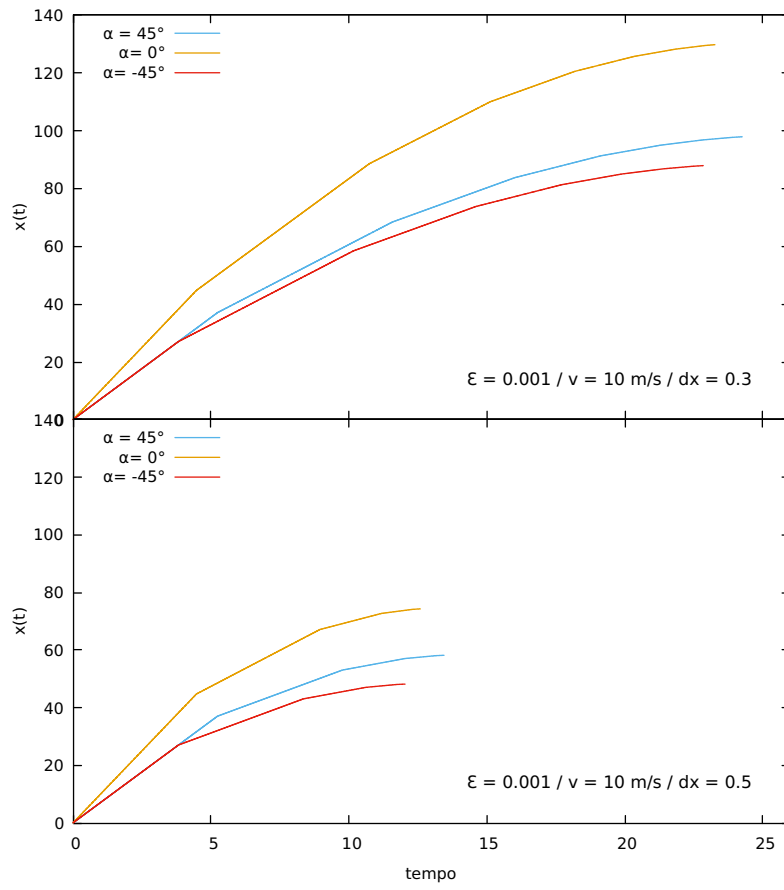


(a)

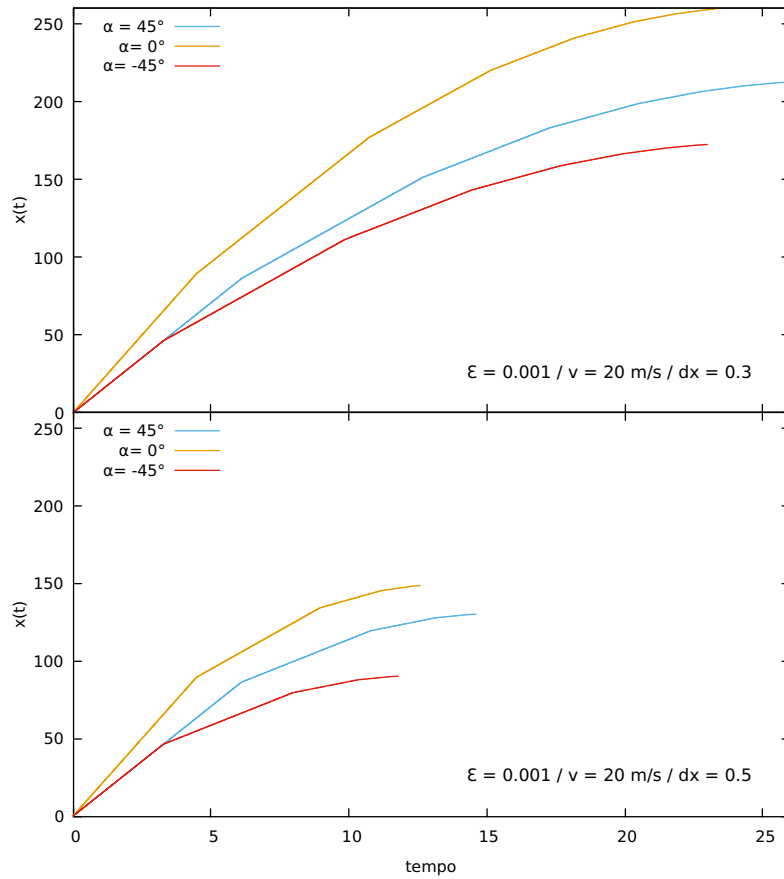


(b)

Figura 11: $y(t)$ vs t

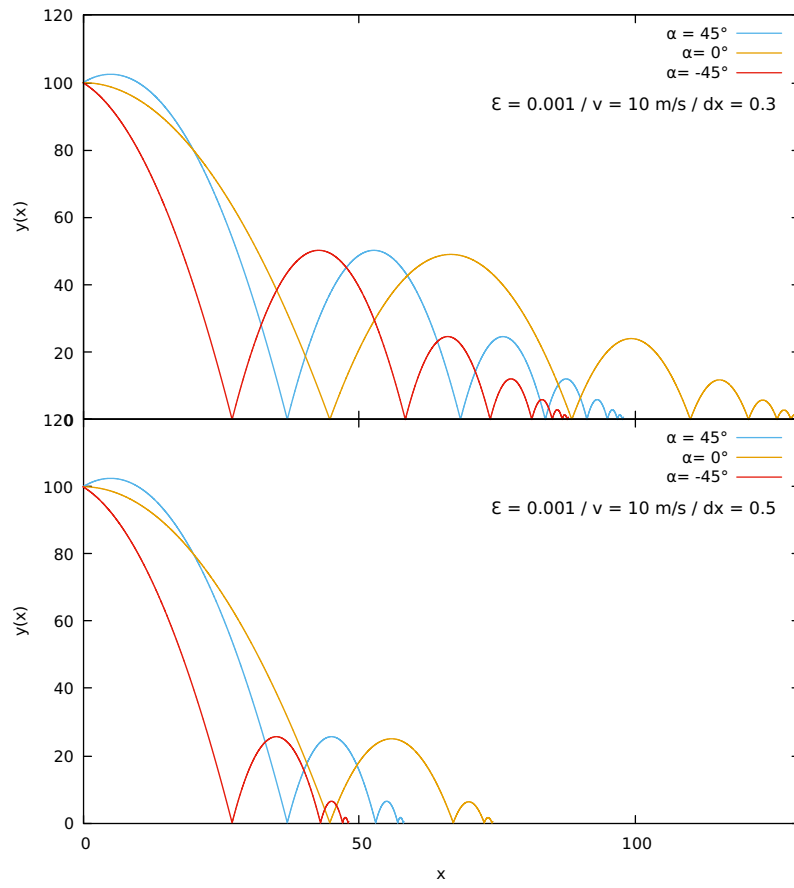


(a)

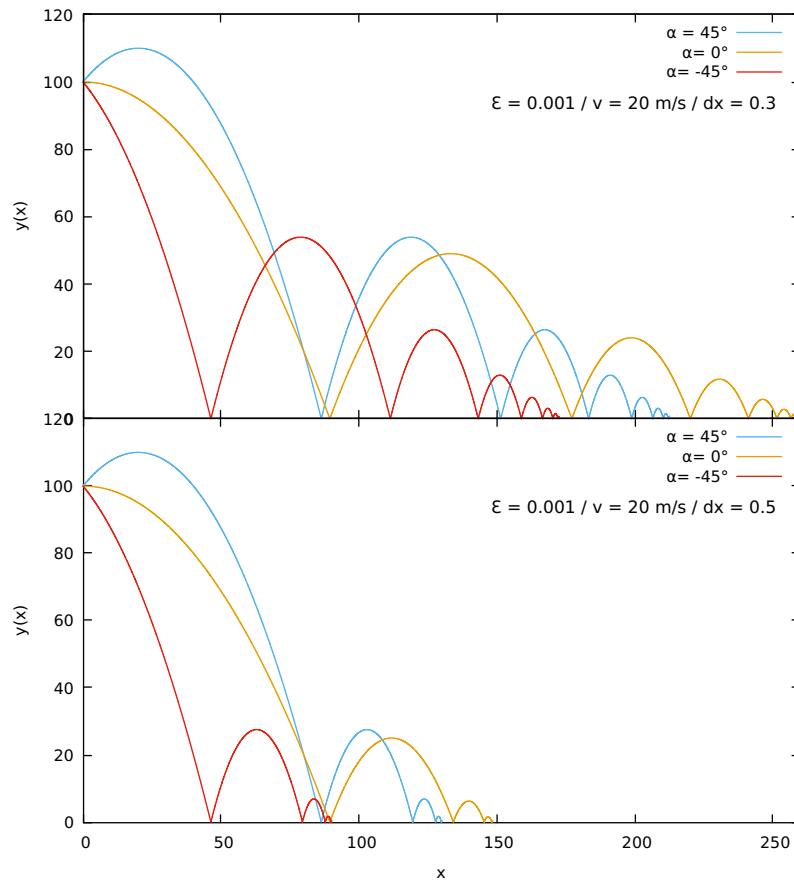


(b)

Figura 12: $x(t)$ vs t



(a)



(b)

Figura 13: $y(x)$ vs x

6 Subprojeto F

Código análogo ao anterior, porém com inclusão da resistência do ar. Foram testados dois valores de dx , $dx = 0$ e $dx = 0.5$.

— tarefaF-10260434.f90 —

```
Program Subprojeto_F
2
3  IMPLICIT REAL*8 (a-h,o-z) !dupla precisão
4  dimension vel(1:2), alfa(1:3), dxy(1:2)
5  character(len=70) fn
6
7  pi = 4.0*datan(1.d0)
8  vel = (/10.0,20.0/)          !velocidade inicial
9  alfa = (/pi/4.d0,0.d0,-pi/4.d0/) !angulo inicial
10 dxy = (/0.0,0.3/)
11
12 at = 0.001                    !avanço temporal
13 y0 = 100.0                    !y inicial
14 x0 = 0                        !x inicial
15 acely = -10.0                 !aceleração inicial
16 acelx = 0.0
17 ifilenum = 10                 !numeração de arquivos
18 dif = 0.1
19 res = 0.1
20 hmax = 5
21
22 do i=1, 2
23     do k=1, 2
24         do j=1, 3
25             tv = 0              !tempo inicial
26             tp = 0
27             ypos = y0           !posição inicial
28             xpos = x0
29             velx = vel(i)*cos(alfa(j))
30             vely_new = vel(i)*sin(alfa(j))
31             ifilenum = ifilenum + 1
32             print*, ifilenum, 'v=', vel(i), 'alfa=', alfa(j),
33                 ↪ 'dxy=', dxy(k)
34             write(fn,fmt='(i0,a)') ifilenum, '.dat'
35             open(unit=ifilenum,file=fn)
36             do while (ypos .ge. 0)
37                 write(ifilenum,*) tp, ypos, xpos, tv,
38                     ↪ vely_old, velx
39                 tp = tp + at
40                 ↪ !tempo
41                 ↪ posição
42                 tv = tv +
43                     ↪ at/2.0
44                     ↪ velocidade
```



```

acx = acelx -
↳ res*velx                                !aceeração
↳ variável devido a res do ar
40 acy = acely - res*vety_new
42 if (tv .eq. (at/2.0)) then
    vety_old = vety_new + (at/2.0)*acy
    velx = velx+ (at/2.0)*acx
44 else                                !variável p/ armazenamento da
    ↳ velocidade anterior
    vety_old = vety_new + at*acy
46    velx= velx + at*acx
end if
48 ypos = ypos + at*vety_old
xpos = xpos + at*velx                                !eixo x
↳ velocidade constante
50
52 if (ypos .lt. 0) then
    ypos = 0
end if
54
if (((vety_new*vety_old) .lt. 0) .and.
↳ (ypos .le. hmax)) then
56     exit !a altura é máxima quando
↳ velocidade muda de sinal
!programa para dada uma
↳ altura máxima
↳ determinada
58 end if
!mudança do sentido da velocidade em y e
↳ perda de velocidade em x
!devido a perda de energia
60 if (ypos .lt. dif) then
    vety_old = -vety_old +
↳ dxy(k)*vety_old
64    velx = velx - velx*dxy(k)
    ypos = ypos + at*vety_old
66    xpos = xpos + at*velx
end if
68
    vety_new = vety_old
70 end do
    close(ifilenum)
72 end do
    end do
74 end do
End Program Subprojeto_F

```

6.1 Resultados

Aqui temos que apesar do corpo não perder energia nos casos em que $dx = 0$, ainda assim o corpo perde altura com o avanço do tempo. Neste caso, mesmo que ele não esteja perdendo energia, a resistência do ar causa a perda de velocidade, pois é contrária ao movimento.

Também encontramos uma curvatura na velocidade horizontal devido a aceleração variável (o que não ocorre no caso anterior).

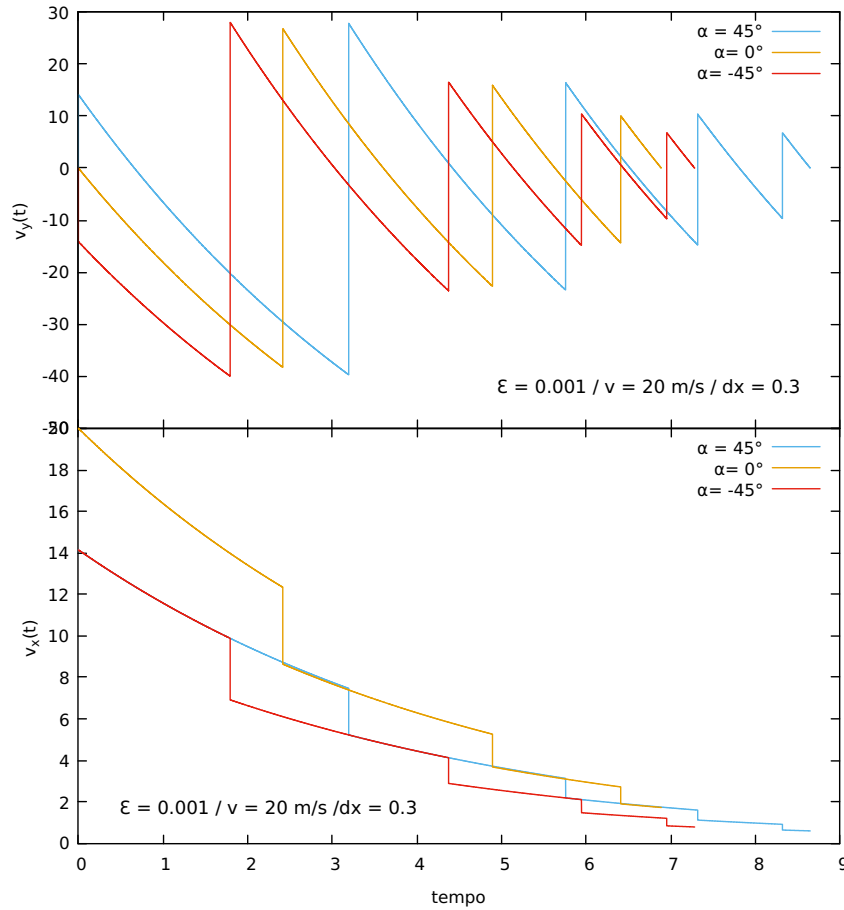
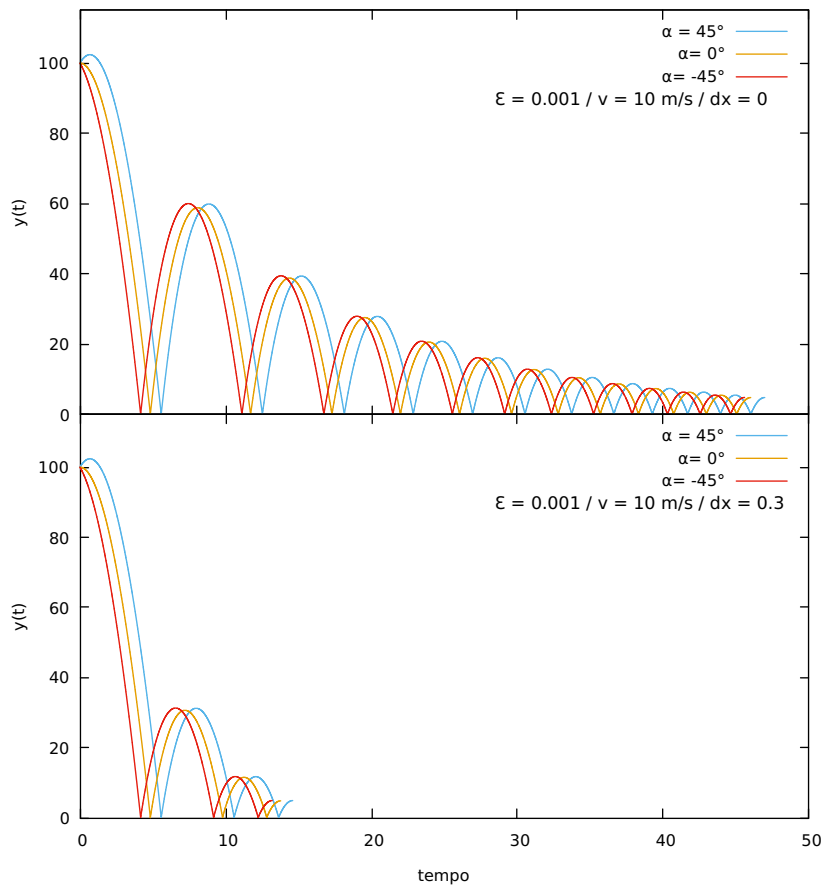
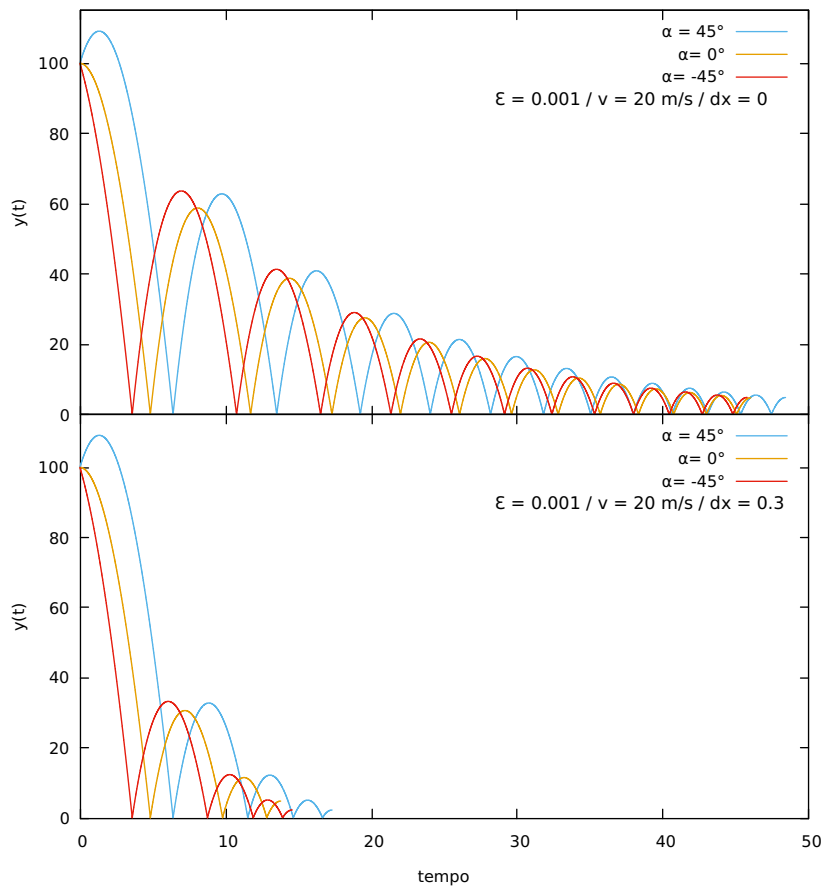


Figura 14: Comportamento das componentes da velocidade.

Devido a ação da resistência do ar, a velocidade horizontal decai mais rapidamente, fazendo com o gráfico de $x(t)$ vs t apresente um plato para $dx = 0$, pois há estagnação na posição desse eixo uma vez que o corpo não tem mais velocidade para avançar.

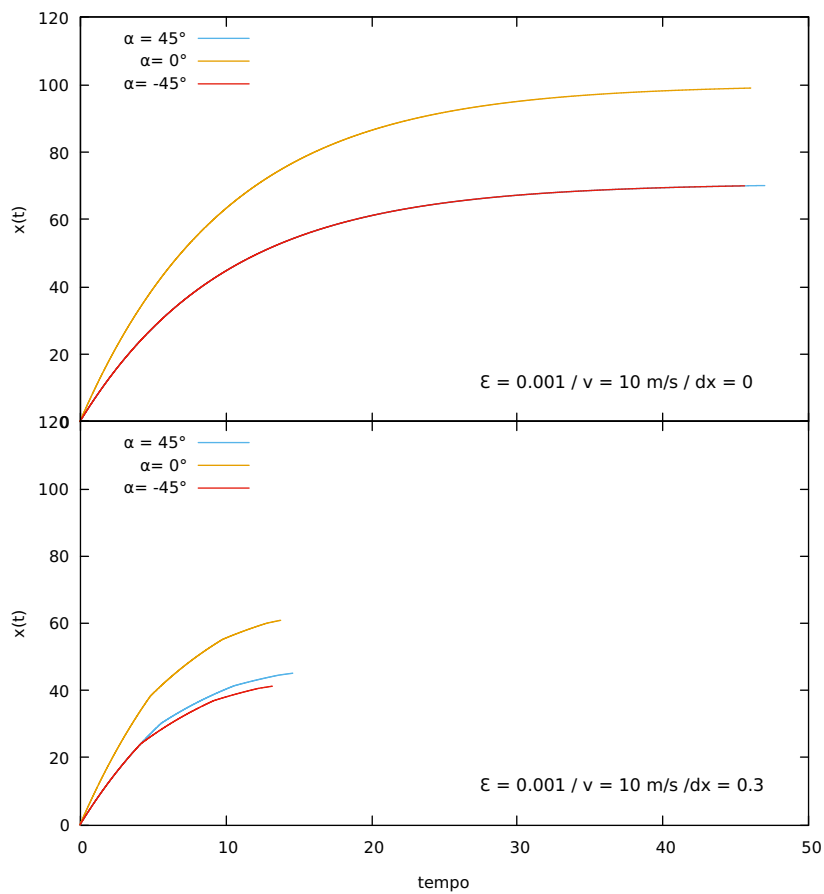


(a) D

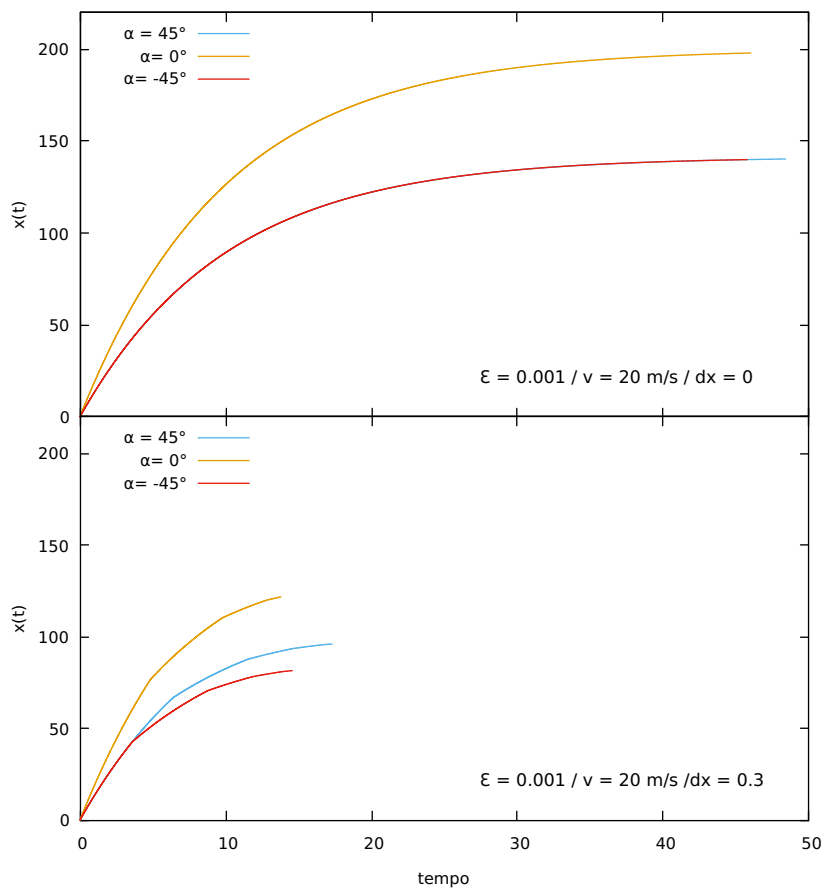


(b)

Figura 15: y vs t

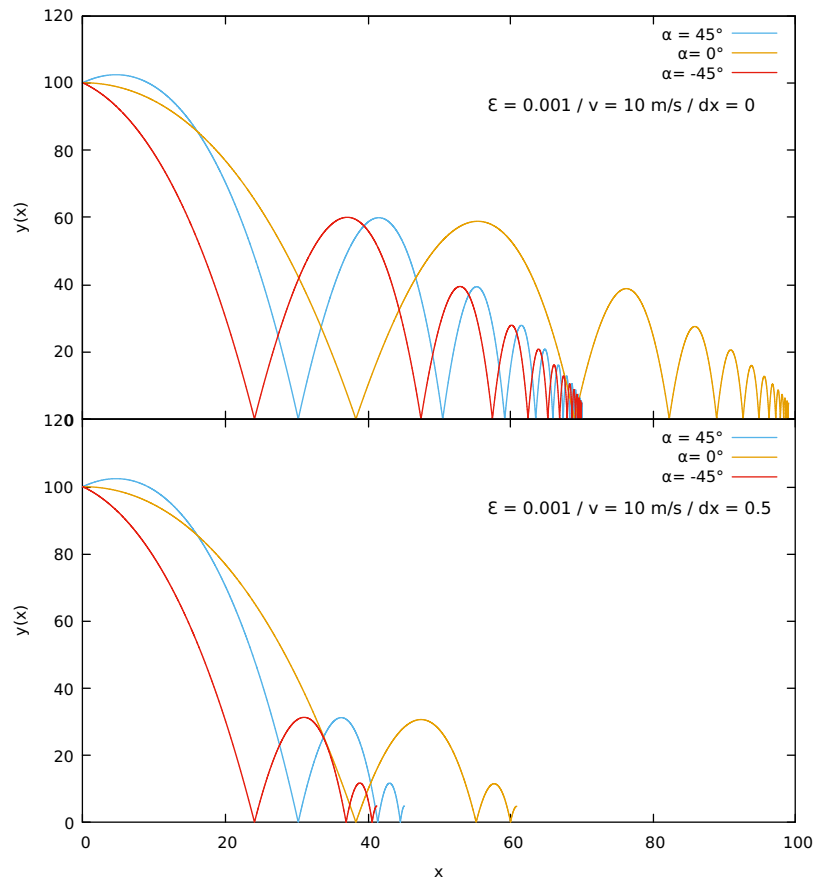


(a)

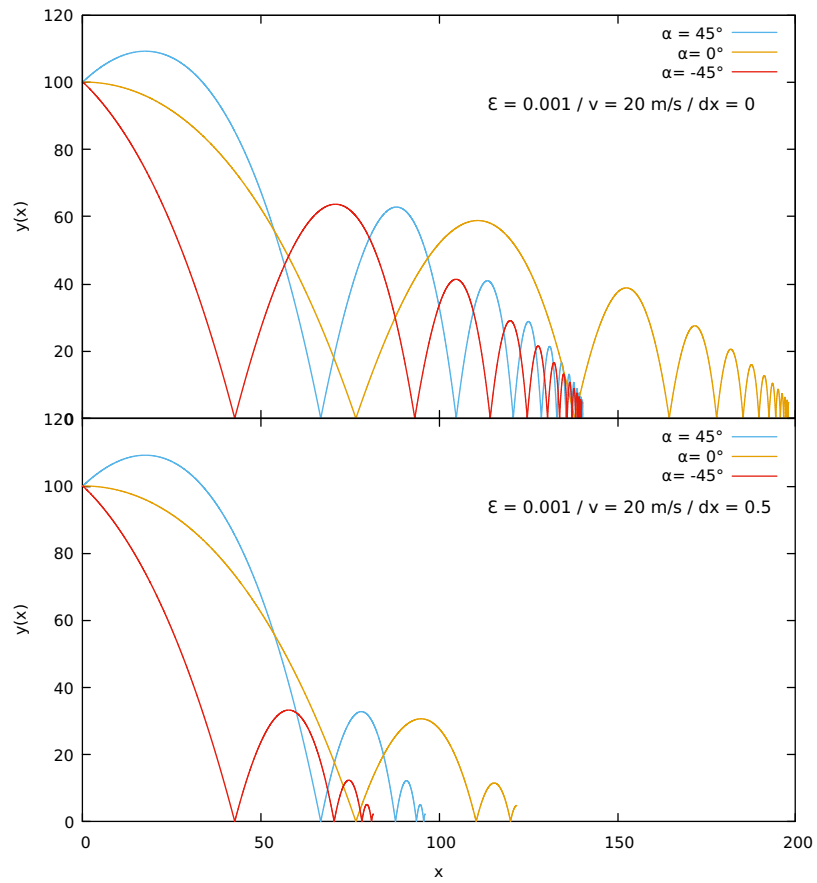


(b)

Figura 16: x vs t



(a)



(b)

Figura 17: $y(x)$ vs x